

穿孔法에 의한 残留應力 測定方法의 改善에 관한 研究

王之錫* · 金東哲**

A Study on the Modified Hole-drilling Method for Determining Residual Stresses

Wang Jee Seok · Kim Dong Chul

Abstract

In general, for measuring residual stresses in plane stress state, two principal stresses σ_1 , σ_2 and their directions θ , should be determined. Naturally, for deciding three unknowns — σ_1 , σ_2 , θ —three informations are necessary and therefore three strain gages are required for determining residual stresses at one point.

In this paper, we tried to measure the residual stresses of one point with only two strain gages by drilling twice the hole of different diameters at that point and by detecting relaxation strains for each hole-drilling. We present also the formulas for determining the residual stresses from relaxation strains detected by strain gages in each hole-drilling.

We carried out experiment, determining principal stresses and their directions of specimens applied specified uniform stress, and compared experimental results with the values calculated by formulas presented in this paper. The values calculated by formulas presented in this paper are always a little greater than the experimental results.

1. 序論

穿孔法(hole-drilling method)에 의한 残留應力의 測定은 測定하고자 하는 個所에 스트레인 케이지(strain gage)를 붙여 놓고 구멍을 뚫어 구멍周圍의 解放스트레인(relaxation strain)을, 붙여진 스트레인케이지로 檢出하여 残留應力으로 換算하는 方法인데 比較的 적은 施設로써 손쉽게 操作할 수 있기 때문에 많은 사람들에 의하여 研究되었고^{1), 2), 3), 4), 5)} 오늘날 널리 利用

되고 있다. 이 方法에 의한 残留應力의 測定은 表面應力으로 表面에 垂直한 方向의 應力(σ_z)은 零이 되고 表面應力의 主應力 σ_1 , σ_2 와 主應力의 方向 θ 를 測定하게 된다. 그런데 2個의 主應力과 主應力의 方向, 도합 3個의 未知數를 決定하는 데는 3個의 式이 必要하고 따라서 一點의 應力を 測定하는 데 3個의 스트레인케이지를 붙여야 한다. 勿論 스트레인로셋트(strain rosette)를 쓸 경우에는 3葉짜리 로셋트를 써야 한다.

本 研究에서는 直徑이 다른 구멍을 같은 자리에 두번 뚫음으로써 스트레인케이지를 2個만 붙

*正會員, 韓國海洋大學.

**正會員, 少年의집工業專門大學.

이고도 3個의 未知數 σ_1 , σ_2 , θ 를 求하는 方法을 提示하고 이를 實驗에 의하여 立證하였다.

實驗은 自作한 引張機에 試片을 걸어 놓고 一定한 應力を 加하고, 이 試片의 應力を 本研究에서 提示한 方法으로 測定하여 加해준 應力과 比較하였다.

2. 穿孔法에 의한 殘留應力의 測定

穿孔法에 의한 殘留應力의 測定은 殘留應力を 測定하고자 하는 個所에 一定直徑의 구멍을 뚫고 구멍周圍의 解放스트레인을 스트레인케이지로 檢出하여 應力으로 換算하는 方法으로 다음에 이를 紹介한다.^{1), 2), 3), 4)}

스트레인케이지로 檢出할 수 있는 解放스트레인은 半徑方向解放스트레인과 圓周方向解放스트레인이 있는데 이 中 圓周方向解放스트레인은 殘留應力測定에 適合하지 않음이 證明되었으므로⁵⁾ 半徑方向의解放스트레인으로 殘留應力を 測定한다.

Fig. 1에 보이는 바와 같이, 殘留應力を 測定하고자 하는 點 0의 主應力を σ_1 , σ_2 라 하고, σ_1 의 方向과 反時計方向으로 φ 의 角度를 이루는 方向으로 測定點 0에서 r_1 의 거리에 길이 l 인 스트레인케이지를 半徑方向으로 붙여 놓고 測定點 0에 半徑 a 인 구멍을 뚫었을 때 스트레인케이지에 檢出될 解放스트레인 i 는 다음 式과 같다.

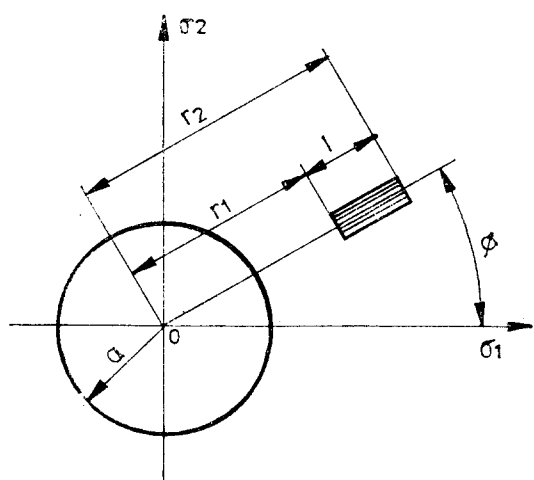


Fig. 1. Relative situation of strain gage for measuring relaxation strain in direction φ .

$$i = \frac{A}{E}(\sigma_1 + \sigma_2) + \frac{B}{E}(\sigma_1 - \sigma_2)\cos 2\varphi \quad (1)$$

여기서

$$A = -\frac{1+\nu}{2} \cdot \frac{a^2}{r_1 r_2}$$

$$B = \frac{2a^2}{r_1 r_2} \left(-1 + \frac{1+\nu}{4} a^2 \frac{r_1^2 + r_1 r_2 + r_2^2}{r_1^2 r_2^2} \right)$$

ν : 포아송比 a : 구멍의 半徑

E : 弹性係數

$$r_2 = r_1 + l$$

測定點 0의 應力解析을 위해 2個의 主應力 σ_1 , σ_2 와 主應力의 方向, 以及 3個의 未知數를 求하려면 3個의 스트레인케이지를 測定點周圍에 붙여 놓고 測定點 0에 구멍을 뚫어 각각의 스트레인케이지로부터 檢出된 解放스트레인을 式(1)에 代入하여 3個의 式을 만들고 이것을 聯立시켜 풀면 3個의 未知數(2個의 主應力과 主應力의 方向)를 求할 수 있는데 이를 보이면 다음과 같다.

Fig. 2에 보이는 바와 같이 1번 스트레인케이지의 方向이 σ_1 의 方向과 反時計方向으로 이루는 角度를 θ ($-45^\circ \leq \theta \leq 45^\circ$)라 하고, 2번 스트레인케이지의 方向이 1번 스트레인케이지의 方向으로부터 反時計方向으로 이루는 角度를 α_1 , 3번 스트레인케이지의 方向이 1번 스트레인케이지의 方向과 反時計方向으로 이루는 角度를 α_2 라 하고, 測定點 0에 半徑 a 의 구멍을 뚫을 때 1번 스트레인케이지에 檢出된 解放스트레인 i_1 은 式(1)에서 $\varphi = \theta$ 를 代入하면 되고, 2번 및 3번 스트레인케이지에 檢出된 解放스트레인 i_2 및 i_3 는 式(1)에서 $\varphi = \theta + \alpha_1$ 및 $\varphi = \theta + \alpha_2$ 를 각각 代入

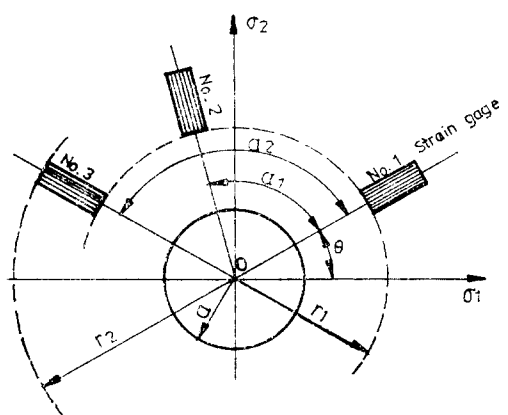


Fig. 2. Arrangement of strain gages for measuring stresses at point 0(3-gage method.)

하면 된다.

$$\left. \begin{aligned} i_1 &= \frac{A}{E}(\sigma_1 + \sigma_2) + \frac{B}{E}(\sigma_1 - \sigma_2)\cos 2\theta \\ i_2 &= \frac{A}{E}(\sigma_1 + \sigma_2) + \frac{B}{E}(\sigma_1 - \sigma_2)\cos(2\theta + 2\alpha_1) \\ i_3 &= \frac{A}{E}(\sigma_1 + \sigma_2) + \frac{B}{E}(\sigma_1 - \sigma_2)\cos(2\theta + 2\alpha_2) \end{aligned} \right\} \quad (2)$$

式 (2)를 聯立시켜 풀면 σ_1 , σ_2 , θ 를 求할 수 있다.

$$\theta = \frac{1}{2} \tan^{-1} \left\{ \frac{(i_1 - i_3)\cos 2\alpha_1 + (i_2 - i_1)\cos 2\alpha_2 + (i_3 - i_2)}{(i_1 - i_3)\sin 2\alpha_1 + (i_2 - i_1)\sin 2\alpha_2} \right\} \quad (3)$$

$-45^\circ \leq \theta \leq 45^\circ$

式 (3)에서 主應力의 方向 θ 는 어떤 境遇이든지 唯一하게 決定된다. 主應力 σ_1 , σ_2 를 求하면 다음과 같다.

$$\sigma_1 = \frac{EBi_1(\cos 2\alpha_1 - \sin 2\alpha_1 \tan 2\theta) - EBi_2 + AE(i_2 - i_1)\sec 2\theta}{2AB(\cos 2\alpha_1 - \sin 2\alpha_1 \tan 2\theta - 1)} \quad (4)$$

$$\sigma_2 = \frac{EBi_1(\cos 2\alpha_1 - \sin 2\alpha_1 \tan 2\theta) - EBi_2 - AE(i_2 - i_1)\sec 2\theta}{2AB(\cos 2\alpha_1 - \sin 2\alpha_1 \tan 2\theta - 1)} \quad (5)$$

여기서 한가지 注意할 點은 α_1 , α_2 가 다 같아 $n \times 90^\circ$ (n 는 整數)가 되어서는 안 된다. 왜냐하면 式 (3)에서 알 수 있는 바와 같이 α_1 , α_2 가 다 같아 $n \times 90^\circ$ 가 되면 θ 를 決定할 수 없기 때문이 다(不能). 만약 $i_1 = i_2 = i_3 = i$ 면 式 (3)의 대괄호 안이 不定이 되고 θ 는 無數히 많게 된다. 即 모든 方向이 主應力方向이 되고 이때의 主應力은 다음과 같다.

$$\sigma_1 = \sigma_2 = \frac{Ei}{2A} \quad (6)$$

特別히 $\alpha_1 = 45^\circ$, $\alpha_2 = 90^\circ$ 이면 Fig. 3(a)에 보

이는 바와 같은 스트레인로세트(strain rosette)가 되고, 이 때의 θ , σ_1 , σ_2 는 다음과 같다.

$$\theta = \frac{1}{2} \tan^{-1} \frac{i_1 + i_3 - 2i_2}{i_1 - i_3} \quad (7)$$

$-45^\circ \leq \theta \leq 45^\circ$

$$\sigma_1 = \frac{EBi_1 \tan 2\theta + EBi_2 - AE(i_2 - i_1)\sec 2\theta}{2AB(1 + \tan 2\theta)} \quad (8)$$

$$\sigma_2 = \frac{EBi_1 \tan 2\theta + EBi_2 + AE(i_2 - i_1)\sec 2\theta}{2AB(1 + \tan 2\theta)} \quad (9)$$

또한 Fig. 3(b)에 보이는 바와 같은 스트레인

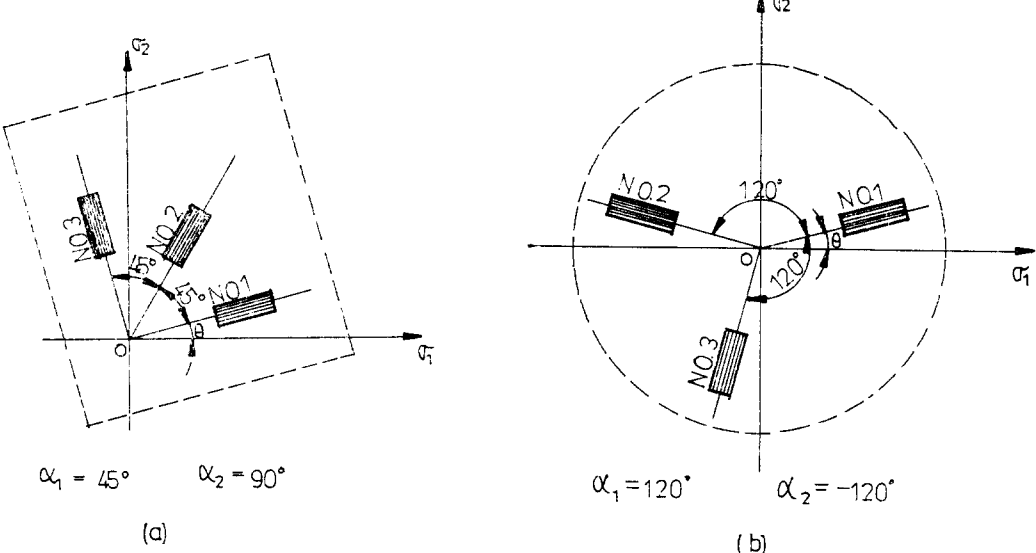


Fig. 3. Strain rosettes.

로 세트에서는 $\alpha_1=120^\circ$, $\alpha_2=-120^\circ$ 가 되며, 이 때의 θ , σ_1 , σ_2 는 다음과 같다.

$$\theta = \frac{1}{2} \tan^{-1} \frac{\sqrt{3}(i_2 - i_3)}{(2i_1 - i_2 - i_3)} \quad (10)$$

$-45^\circ \leq \theta \leq 45^\circ$

$$\sigma_1 = \frac{EBi_1(\sqrt{3} \tan 2\theta - 1) - 2EBi_2 + 2AE(i_2 - i_1)\sec 2\theta}{2AB(\sqrt{3} \tan 2\theta - 3)} \quad (11)$$

$$\sigma_2 = \frac{EBi_1(\sqrt{3} \tan 2\theta - 1) - 2EBi_2 - 2AE(i_2 - i_1)\sec 2\theta}{2AB(\sqrt{3} \tan 2\theta - 3)} \quad (12)$$

여기서

3. 孔徑의 變化를 利用한 殘留應力의 測定

앞에서 보인 바와 같이 殘留應力의 測定에 있어서 2個의 主應力 σ_1 , σ_2 와 σ_1 의 方向을 決定하는 angle θ , 即 3個의 未知數를 求하기 위해서는 3個의 스트레인계이지가 必要하였다. 그러나 本研究에서는 2個의 스트레인계이지만 가지고 3個의 未知數 σ_1 , σ_2 , θ 를 求할 수 있는데 이를 보이면 다음과 같다.

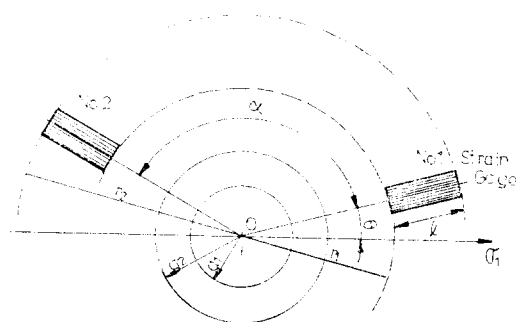


Fig. 4. Arrangement of strain gages for measuring stresses at point 0(2-gage method.)

Fig. 4에 보이는 바와 같이 1번 스트레인계이지의 方向이 σ_1 의 方向과 反時計方向으로 이루는 角을 θ ($-45^\circ \leq \theta \leq 45^\circ$)라 하고, 2번 스트레인계이지의 方向이 1번 스트레인계이지의 方向과 反時計方向으로 이루는 角을 α 라 하고, 測定點 0에 半徑 a_1 인 구멍을 뚫었을 때 1번 및 2번 스트레인계이지에 檢出될 解放스트레인 i_1 및 i_2 는 式 (1)에 $\phi=\theta$ 및 $\phi=\theta+\alpha$ 를 代入함으로써 다음과 같이 된다.

$$i_1 = \frac{A_1}{E}(\sigma_1 + \sigma_2) + \frac{B_1}{E}(\sigma_1 - \sigma_2)\cos 2\theta \quad (13)$$

$$i_2 = \frac{A_1}{E}(\sigma_1 + \sigma_2) + \frac{B_1}{E}(\sigma_1 - \sigma_2)\cos(2\theta + 2\alpha) \quad (14)$$

또한 測定點 0를 中心으로 半徑 a_2 ($a_2 > a_1$)인 구멍을 뚫었을 때 1번 및 2번 스트레인계이지에 檢出될 解放스트레인 i_3 및 i_4 는 다음과 같이 된다.

$$i_3 = \frac{A_2}{E}(\sigma_1 + \sigma_2) + \frac{B_2}{E}(\sigma_1 - \sigma_2)\cos 2\theta \quad (15)$$

$$i_4 = \frac{A_2}{E}(\sigma_1 + \sigma_2) + \frac{B_2}{E}(\sigma_1 - \sigma_2)\cos(2\theta + 2\alpha) \quad (16)$$

여기서

$$A_2 = -\frac{1+\nu}{2} \cdot \frac{a_2^2}{r_1 r_2}$$

$$B_2 = \frac{2a_2^2}{r_1 r_2} \left[-1 + \frac{1+\nu}{4} a_2^2 \frac{r_1^2 + r_1 r_2 + r_2^2}{r_1^2 r_2^2} \right]$$

그리고 i_1 , i_2 , i_3 , i_4 사이에는 다음과 같은 關係가 成立한다.

$$\frac{i_1 - i_2}{i_3 - i_4} = \frac{B_1}{B_2} \quad (17)$$

式 (13), (14), (15), (16)의 4個中 任意로 3個를 取하여 이를 聯立시켜 둘면 σ_1 , σ_2 및 θ 를 求할 수 있는데 4式中 어떻게 3개를 取하든 結果는 마찬가지이다. 여기서는 式 (13), (14), (15)를 取하여 이를 聯立시켜 σ_1 , σ_2 , θ 를 求하면 다음과 같다.

$$\theta = \frac{1}{2} \tan^{-1} [\cot 2\alpha - \frac{A_1 B_2 (i_2 - i_1) + B_1 (A_1 i_3 - A_2 i_2)}{B_1 (A_1 i_3 - A_2 i_1) \sin 2\alpha}] \quad (18)$$

$-45^\circ \leq \theta \leq 45^\circ$

$$\sigma_1 = \frac{E(i_1 B_2 - i_3 B_1) + E(A_1 i_3 - A_2 i_1) \sec 2\theta}{2(A_1 B_2 - A_2 B_1)} \quad (19)$$

$$\sigma_2 = \frac{E(i_1 B_2 - i_3 B_1) - E(A_1 i_3 - A_2 i_1) \sec 2\theta}{2(A_1 B_2 - A_2 B_1)} \quad (20)$$

여기서 α 는 $n \times 90^\circ$ (n 는 整數)가 되어서는 안 된다. 왜냐하면 α 가 $n \times 90^\circ$ 가 되면 式 (18)에서 보는 바와 같이 θ 를 定할 수가 없기 때문이다.

4. 實驗方法

本研究의 實驗은 軟鋼板(SS 41)에 一定한 應力を 加하고 이 軟鋼板의 應力を 孔徑의 變化를 利用한 残留應力의 測定方法으로 測定하여 實際加하여 준 應力과 比較하였다.

Fig. 5는 試片의 形象과 치수 및 스트레인계이지의 配置들을 나타낸다. 使用된 스트레인계이지의 길이는 2mm이고, 應力測定點 0에서 4.5

mm 되는 곳에 半徑方向으로 붙였다. 또한 1번 스트레인계이지와 2번 스트레인계이지의 角度 α 는 135° 로 하였다. 여기에 쓰인 스트레인계이지는 SAN-EI社 製品인 N11-FA-2-120을 썼다.

實驗에 使用한 試驗機는 本研究室에서 考案製作한 引張機로서 이것의 概略圖 및 外觀을 Fig. 6과 Fig. 7에 보인다. 채(chuck)에 Fig. 5의 試片을 물리고 핸들(handle)을 돌리면 이 運動이 2쌍의 웨어 및 웨어기어(worm and worm gear)를 통하여 2개의 암나사에 傳達된다. 2개의 암나사가 돌아가면 이와 맞물린 2개의 리드스크류(lead screw)를 당겨 試片에 引張應力を 加하게 된다. 引張應力を 丸棒(specific bar for measuring tensile force)의 表面에 스트레인계이지를 붙여 測定하였다. 이렇게 하여 試片에 一定한 單純引張應力 σ_1 을 加하여 헤고, 半徑

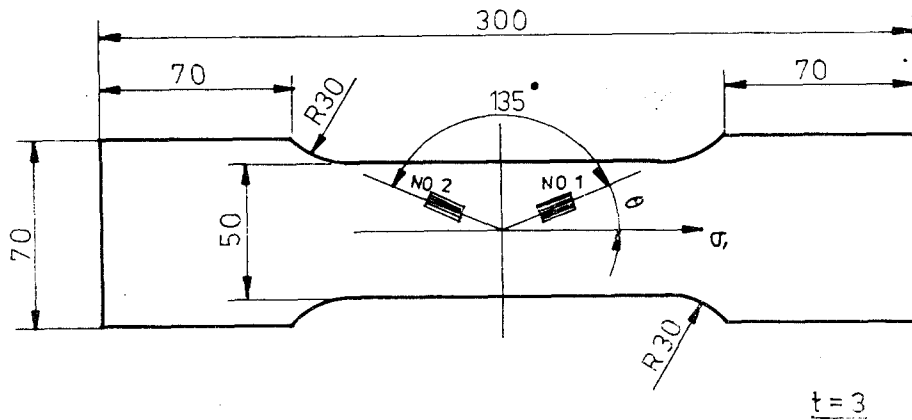


Fig. 5. Configuration and dimensions of specimens.

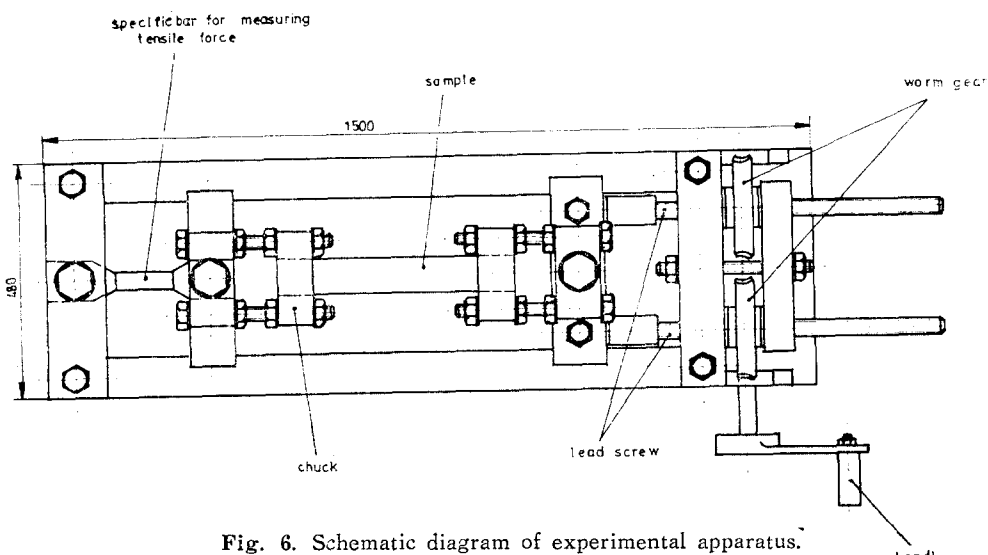


Fig. 6. Schematic diagram of experimental apparatus.

$a_1=1.5\text{mm}$ 인 구멍을 뚫어 1번 및 2번 스트레인게이지에 檢出된 解放스트레인 i_1 및 i_2 를 스트레인메터(TOYO社 製品, MD-6E-F)로 测定하고, 다음에 半徑 a_2 가 3mm인 구멍을 뚫고 1번 및 2번 스트레인게이지에 檢出된 解放스트레인 i_3 및 i_4 를 测定하였다.

5. 實驗結果 및 考察

Table I은 引張機에 의해서 加해준 應力 σ_1 ,

Table I. Measured Relaxation Strains in μs (Micro-strain)

[$a_1=1.5\text{mm}$, $a_2=3\text{mm}$, $r_1=4.5\text{mm}$, $r_2=6.5\text{mm}$, $\alpha=135^\circ$, $\nu=0.28$, $E=21,000\text{kg/mm}^2$]

Sample No.	Given Stresses(kg/mm ²) and Angles(Degree)			Measured Relaxation Strains in μs (Micro-strain)			
	σ_1	σ_2	θ	i_1	i_2	i_3	i_4
1	5	0	-20	-38	10	-126	19
2	5	0	5	-46	-18	-156	-66
3	5	0	15	-42	-29	-136	-100
4	8	0	-20	-62	16	-204	30
5	8	0	5	-74	-29	-240	-106
6	8	0	15	-67	-47	-222	-160
7	12	0	-20	-94	25	-310	45
8	12	0	5	-112	-44	-365	-160
9	12	0	15	-102	-71	-335	-245
10	18	0	-20	-145	38	-475	69
11	18	0	5	-172	-67	-560	-245
12	18	0	15	-156	-110	-510	-370
13	25	0	-20	-205	54	-670	99
14	25	0	5	-245	-95	-790	-350
15	25	0	15	-220	-155	-730	-530

σ_2 (σ_2 는 矩形 零) 및 1번 스트레인게이지와 이루는 角度 θ 에 대해서 测定된 解放스트레인 i_1 , i_2 , i_3 , i_4 를 나타낸다.

Table I에서 보인 测定된 解放 스트레인 i_1 , i_2 , i_3 를 式 (18), (19), (20)에 代入하여 主應力 σ_1 , σ_2 및 θ 를 計算하면 Table II와 같으며, 또한 Table II에는 相對誤差도 함께 나타내었다. 이 表에서 보이는 바와 같이 應力이 크면 클수록 誤差도 커진다는 것을 알 수 있고 또, 测定된 應力은 實際應力보다 一般的으로 크게

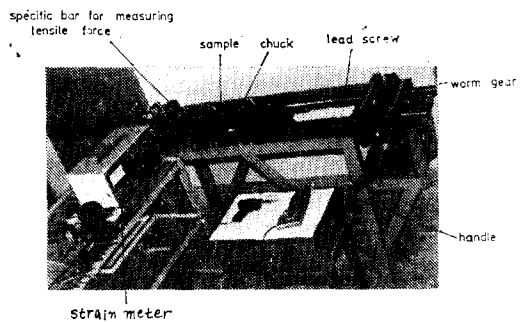


Fig. 7. General view of experimental apparatus.

나타남을 알 수 있다.

6. 結論

一定 直徑의 구멍을 뚫으므로 인한 應力場의解放스트레인을 理論的으로 解析하고 實驗한 結果 다음과 같은 結論을 얻었다.

(1) 穿孔法에 의한 殘留應力의 测定에 있어서 같은 자리에 直徑이 다른 구멍을 2번 뚫음으로써 스트레인게이지를 2개만 붙이고도 主應力과

Table II. Calculated Stresses and Angle from Measured Relaxation Strains

Sample No.	Calculated Stresses(kg/mm ²) and Angles(Degree)			Relative Error of σ_1 (%)	Relative Error of θ (%)
	σ_1	σ_2	θ		
1	5.100	0.064	-20.24	2.0	1.2
2	5.131	0.047	4.911	2.6	-1.78
3	4.90	-0.579	15.31	-2.0	2.1
4	7.987	-0.23	-18.98	-0.16	-5.1
5	8.089	-0.314	5.466	1.11	9.32
6	8.408	0.6295	14.70	5.1	-2
7	12.29	-0.2285	-19.51	2.42	-2.45
8	12.47	0.048	5.03	3.92	0.6
9	12.45	0.049	14.92	3.75	-0.53
10	18.29	-1.046	-18.43	1.6	-7.85
11	19.07	-0.079	5.001	5.94	0.02
12	18.83	-0.714	15.37	4.6	2.47
13	25.56	-1.84	-18.13	2.24	-9.35
14	26.19	-2.4	5.86	4.76	17.2
15	27.75	2.37	14.73	11.0	-1.8

主應力의 方向을 모두 求할 수 있다.

(2) 이 方法에 의한 残留應力의 測定值는 一般的으로 實際 應力值보다 약간 크게 測定되었으며, 그 誤差는 應力이 클수록 커졌다.

(3) 좀더 精密度 높은 残留應力測定을 위한 諸測定條件 即, 스트레인케이지의 相互位置, 구멍의 直徑 等은 앞으로 더 研究되어야 할 課題이다.

參 考 文 献

- 1) A. Chabenat et R. Martin, "La mesure des contraintes contraintes résiduelles", Les mémoires techniques du CETIM N° 24, 1978.
- 2) Osamu Doi and Kouichi Kataoka, "Measurement of Principal Residual Stresses in Orthotropic Plate when Their Directions are Unknown", Bulletin of the JSME, Vol. 16, No. 102, Dec., 1973.
- 3) H. V. Cordiano and V. L. Salerno, "Study of Residual Stress in Linearly Varying Biaxial Stress Fields", Experimental Mechanics, Jan., 1969.
- 4) B. R. Lake, F. J. Appl and C. W. Bert, "An Investigation of the Hole-drilling Technique for Measuring Planar Residual Stress in Rectangularly Orthotropic Materials", Experimental Mechanics, June, 1970.
- 5) A. M. Nawwar, K. McLachlan and J. Shewchuck, "A Modified Hole-drilling Technique for Determining Residual Stresses in Thin Plates", Experimental Mechanics, June, 1976.